

УДК 550.835

# Спектральное распределение альбедо гамма-излучения $^{137}\text{Cs}$ для двухслойной среды с цилиндрической границей раздела

ДАВЫДОВ Ю. Б., ТИМОНОВ А. А., ДАВЫДОВ А. В.

В статье исследуется вопрос о спектральном распределении альбедо  $\gamma$ -излучения  $^{137}\text{Cs}$  для двухслойной среды с цилиндрической границей раздела, соответствующей геометрии измерений в буровой скважине.

Основные закономерности спектрального распределения альбедо  $\gamma$ -излучения получены расчетным методом и дополнены экспериментальными наблюдениями на моделях буровых скважин. Выполнен расчет потока однократно рассеянного излучения интегрированием потоков  $\gamma$ -излучения, рассеянных элементарными объемами, по всей рассеивающей среде. При этом погрешность вследствие недоучета фотоэффекта не превышала 3,5%, а погрешность вследствие недоучета многократно рассеянных  $\gamma$ -квантов не более 25%. Вычисление интегралов проводилось методом сеток с шагом по  $r = 0,1$  и  $r = 0,25$  см. Для расчета спектрального распределения весь диапазон энергий однократно рассеянных  $\gamma$ -квантов был разбит на 16 интервалов. Для выбранной системы разбики пространства и энергии погрешность расчета не превышала 1%.

Исследована также зависимость потока однократно рассеянных  $\gamma$ -квантов от радиуса скважинного прибора, плотности горных пород, плотности бурового раствора, длины зонда и радиуса скважины.

Экспериментальная проверка результатов расчета выполнялась на моделях буровых скважин силикатного состава. Геометрия измерений соответствовала условиям теоретического расчета. Энергетическое разрешение детектора было не менее 15%.

Сопоставление аппаратурных и расчетных спектров  $\gamma$ -излучения подтверждает, что расчетные спектры могут быть использованы для качественного объяснения результатов эксперимента. Некоторые особенности спектрального распределения могут представлять интерес для практических приложений, например для определения диаметра буровых скважин и плотности горных пород.

(№ 820/7881. Статья поступила в Редакцию 27/V 1974 г. Аннотация — 6/V 1975 г. Полный текст 0,5 а. л., 3 рис., 11 библиогр. ссылок).

УДК 621.039.58:621.384.6

## Об оптимизации параметров санитарно-защитной зоны и защиты ускорителей

ВОЛЧЕК Ю. А., ЯКОВЛЕВ А. Я.

Для ускорителей с энергией частиц до нескольких гигаэлектронвольт и интенсивностью пучка  $>10^{13}$  частиц/с размеры санитарно-защитных зон должны назначаться с учетом возможной утечки нейтронов за пределы здания, а также воздуха, активированного в процессе работы ускорителей и выбрасываемого в атмосферу. При этом необходимо, чтобы мощность дозы за защитой отвечала соотношениям (рисунок):

$$D(x, y, h, r) = D_1; \quad (1)$$

$$D(x) = D_2, \quad (2)$$

$$\frac{r^3 - r^2}{2c_1} + r \left( \frac{D' \beta_3}{s^2 D_1} + \frac{b}{c_1 \Sigma_2} \right) - \left( sd + \alpha - b \frac{\Sigma'_2}{\Sigma_2} \right) \frac{D' \beta_3}{2D_1 c_1 s^2} = e^{-\Sigma'_1 r}; \quad (4)$$

где  $D_1, D_2$  — предельно допустимые мощности доз на границе санитарно-защитной зоны и на внешней поверхности защиты соответственно.

Выбранное решение защиты должно обеспечивать минимум затрат на сооружение и эксплуатацию объекта:  $C_{\text{общ}} = C_y + C_3 \rightarrow \min$ , где  $C_{\text{общ}}$  — общая стоимость защитных мероприятий;  $C_y$  — затраты на освоение участка строительства;  $C_3$  — стоимость конструктивной защиты и вентиляционных труб. Это может

быть достигнуто путем варьирования параметров, от которых зависит стоимость и эффективность защиты, толщины конструктивной защиты, радиуса санитарно-защитной зоны и высоты вентиляционной трубы (см. рисунок). Задача сводится к отысканию минимума функции  $C_{\text{общ}}(x, y, h, r)$  при условиях (1,2). Конкретизируя исходные функции и решая поставленную задачу, получаем следующие соотношения:

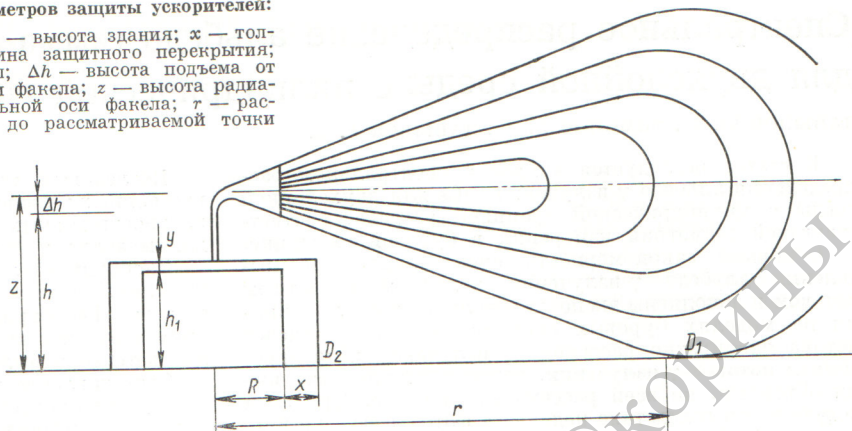
$$x = \frac{1}{\Sigma_1} \ln \frac{A \beta_1}{D_2 R^2}; \quad (3)$$

$$y = \frac{1}{\Sigma_2} \left( \ln \frac{B \beta_2}{D_1 r^2 - D' \beta_3 - R^2 D_2 e^{-\Sigma'_1 r}} - \Sigma'_2 r \right), \quad (5)$$

где  $A, B$  — величины, пропорциональные выходу ведущих групп излучений через боковую и верхнюю защиту соответственно;  $D_1$  — величина, пропорциональная концентрации радиоактивного воздуха, выбрасываемого через вентиляционную трубу;  $\Sigma_1, \Sigma_2$  — эффективные сечения выведения ведущих групп прямого и рассеян-

## Схема к расчету оптимальных параметров защиты ускорителей:

$R$  — радиус здания ускорителя;  $h_1$  — высота здания;  $x$  — толщина боковой защиты;  $y$  — толщина защитного перекрытия;  $h$  — высота вентиляционной трубы;  $\Delta h$  — высота подъема от устья трубы до горизонтальной оси факела;  $z$  — высота радиационных выбросов до горизонтальной оси факела;  $r$  — расстояние от источника излучений до рассматриваемой точки



ного излучений в материале защиты,  $\text{м}^{-1}$ ;  $\Sigma'_1$ ,  $\Sigma'_2$  — аналогичные величины для воздуха;  $\beta_1$ ,  $\beta_2$  — коэффициенты перевода плотности потока излучений в мощность дозы,  $\text{мбэр} \cdot \text{ч}^{-1}/(\text{нейтр} \cdot \text{см}^2 \cdot \text{с}^{-1})$ ;  $\beta$  — коэффициент перевода концентрации радиоактивных изотопов в воздухе в мощность дозы,  $\text{МР} \cdot \text{м}^3/(\text{ч} \cdot \text{мКи})$ ;  $s$  — коэффициент турбулентности;  $c_0$  — затраты на освоение земли, руб./ $\text{м}^2$ ;  $c_1 = c_0\pi$ ;  $\alpha$  — стоимость коммуникаций на 1 пог. м радиуса санитарно-защитной зоны;  $\alpha'$  — стоимость 1 м длины вентиляционной трубы, руб./м;  $R$  — радиус здания ускорителя, м;  $b$  — стоимость 1 м толщины верхней защиты, руб./м.

Выполненные расчеты применительно к синхротрону с  $E_p = 1 \text{ ГэВ}$  и  $I_p$ , равном 1, 10,  $10^2$ ,  $10^3 \text{ мкА}$ , подтвердили вывод работы Ю. А. Волчек и др. «Конструи-

рование и расчет зданий и сооружений для научных исследований». (М., «Наука», 1973) о необходимости проводить оптимизацию параметров, обеспечивающих выполнение норм радиационной безопасности при выборе места строительства и проектировании защиты, особенно в случае высокой стоимости земельных участков, отведенных для строительства. Это приобретает особое значение для высокоточных установок, защита которых требует резкого увеличения оптимального радиуса санитарно-защитной зоны в связи с выбросом в атмосферу радиоактивного воздуха.

(№ 822/8215. Статья поступила в Редакцию 20/II 1975 г. Аннотация — 5/VI 1975 г. Полный текст 0,35 а. л., 2 табл., 3 рис., 9 библиогр. ссылок.)

РЕПОЗИТОРИЙ ГИТИСА  
http://elibrary.gntm.ru/